

УДК 539.126
 УДК 539.126
 РЕЗОНАНСНИЙ ПРОЦЕСС ПЕРЕЗАРЯДКИ $p(t, {}^3\text{He})$
М. В. Евланов¹, А. М. Соколов¹, В. К. Тартаковский²

¹Інститут ядерних досліджень НАН України, Київ
²Інститут теоретичної фізики ім. Н. Н. Боголюбова НАН України, Київ

В рамках дифракційного приближення построена амплітуда перезарядного процесу $p(t, {}^3\text{He})$ с образуванням промежуточного Δ -резонанса и рассчитаны соответствующие угловые распределения и энергетические спектры вылетающих ядер ${}^3\text{He}$.

Введение

Появившиеся в 80-х годах прошлого століття експерименти [1 - 16] по столкновению трехнуклонных ядер (в основном ${}^3\text{He}$) с протонами и сложными атомными ядрами в области достаточно больших энергий (≥ 1 ГэВ на нуклон), когда эффективно могут возбуждаться Δ -резонансы и происходить зарядово-обменные процессы, теоретически описывались в ряде работ [5 - 8, 10 - 11], однако они еще нуждаются в дальнейшем теоретическом осмыслении. Дальнейшее изучение энергетических спектров и угловых распределений продуктов реакций перезарядки, положения и ширины максимумов распределений может дать новые сведения о сложной динамике в ядерном веществе.

Уже полученные экспериментальные (в основном инклузивные) и теоретические полные и дифференциальные сечения [1 - 8, 10] и имеющиеся возможности позволяют извлечь новые сведения при изучении Δ -изобарной степени свободы в перезарядных процессах столкновения пучков трехнуклонных ядер с протонами и сложными ядрами особенно из анализа инклузивных экспериментов. В последнем случае возможно будет углубить наши знания о спин-изоспиновых возбуждениях сложных ядер в области гигантского резонанса, а также о коллективных состояниях ядер в связи с коллективизацией возникшей Δ -изобары в сложном ядре и формированием изобар-дырочных возбуждений. Такое коллективное возбуждение Δ -резонансов в сложных ядрах конкурирует с квазисвободным процессом образования изобары, когда один нуклон падающего ядра взаимодействует лишь с одним нуклоном ядра-мишени. Из-за сложности процессов образования Δ -изобар в многонуклонных ядрах, когда необходимо привлекать при их описании еще дополнительные теоретические представления (например, теорию ядерной ферми-жидкости), мы здесь ограничимся прежде всего теоретическим исследованием более простого квазисвободного зарядово-обменного процесса образования Δ -резонанса при рассеянии трехнуклонных ядер на протонах. Изучение такого простого процесса в чистом виде представляет интерес как само по себе, так и помогает более глубже понять детали реакции перезарядки и рождения изобар также и в сложных ядрах, где существенны вклады как процессов квазисвободного рождения Δ -изобар, так и процессов коллективных изобар-дырочных возбуждений. Кроме того, разрабатываются новые программы по экспериментальному изучению реакций (${}^3\text{He}, t$) и ($t, {}^3\text{He}$) как на сложных ядрах, так и на протонах.

В настоящей теоретической работе рассматривается резонансное рассеяние тритона на протоне с взаимной перезарядкой одного из нейтронов в падающем тритоне и протоне-мишени, т.е. процесс $p(t, {}^3\text{He})$. Планируется экспериментальное изучение такого процесса, в частности, на ускорительном комплексе синхрофазотрон-нуклотрон в Дубне (Россия) [9, 11, 12, 16]. Изучение наиболее простой реакции перезарядки $p(t, {}^3\text{He})$ с образованием Δ -резонанса имеет ряд преимуществ по сравнению с другими зарядово-обменными процессами и, прежде всего, из-за наличия минимально возможного числа составляющих

каналов, что позволяет легче и более однозначно интерпретировать соответствующие экспериментальные результаты. Заметим, что реакция перезарядки $t(p, n)^3\text{He}$ при энергии налетающих протонов 600 МэВ теоретически изучалась еще в ранней работе [17], но при этом не рассматривалось возбуждение Δ -изобар. При нерелятивистских энергиях зарядово-обменные реакции в дифракционном приближении рассматривались в [18, 19].

Резонансное рассеяние, как известно [20], возникает при такой энергии падающей частицы, когда полная энергия E в системе центра масс составной физической системы, состоящей из падающей частицы и частицы-мишени, близка к некоторому квазидискретному уровню энергии шириной Γ . Относительная кинетическая энергия столкновения нуклона в падающем ядре ^3H и протона-мишени при возбуждении Δ -резонанса будет значительно превосходить энергию связи нуклона в трехнуклонном ядре, поэтому достаточно проследить при этом столкновение квазисвободного нуклона (нейтрона) с протоном-мишенью. При таких энергиях столкновения ($\geq 1\text{ ГэВ}$) можно применять дифракционную ядерную модель, и одной из наших задач здесь будет приспособление математического аппарата этой модели к резонансным ядерным процессам с перезарядкой.

Сейчас мы получим в дифракционном приближении, прежде всего, выражения для амплитуд упругого резонансного рассеяния нуклонов на нуклонах и амплитуд процессов перезарядки при их столкновениях, что затем будет использовано при построении и расчете резонансной амплитуды и сечения процесса перезарядки $p(t, ^3\text{He})$ в дифракционной ядерной модели.

Нуклон-нуклонные амплитуды рассеяния с учетом образования резонансов

Согласно [21], амплитуда потенциального рассеяния 1-го нуклона на 2-м нуклоне, (здесь и далее нумеруем лишь падающие нуклоны) в дифракционном приближении представляется в виде

$$f_1^0(q) = \frac{i k_1}{2\pi} \int d^{(2)}\vec{p} \omega_1^0(\rho) e^{i\vec{q}\vec{p}} = i k_1 \int_0^\infty d\rho \rho \omega_1^0(\rho) J_0(q\rho), \quad (1)$$

где $\omega_1^0(\rho)$ - нуклон-нуклонная профильная функция, не учитывающая перезарядки; \vec{q} - переданный импульс ($\hbar = c = 1$); k_1 - импульс падающего нуклона; $q = 2k_1 \sin \frac{\theta}{2}$; θ - угол рассеяния. Амплитуду резонансного NN-рассеяния $f_{lr}^0(q)$ в том же приближении ($\theta \ll 1, l \gg 1$) можно получить из общего выражения для нее (см. [20])

$$f_{lr}^0(q) = -\frac{2l_r + 1}{k_1} \cdot \frac{\Gamma/2}{E - E_r + \frac{\Gamma}{2}} e^{2i\delta_{lr}} P_{l_r}(\cos\theta) \quad (2)$$

при замене резонансного значения относительного орбитального момента $l = l_r$ на $k_1 \rho_r$ ($\rho = \rho_r$ - соответствующий прицельный параметр), полинома Лежандра $P_{l_r}(\cos\theta)$ на функцию Бесселя $J_0(q\rho_r)$ и множителя $e^{2i\delta_{lr}}$ с фазой рассеяния $\delta_l = \delta_{l_r}$ на $1 - \omega_1^0(\rho)$. В результате резонансная амплитуда принимает следующий вид:

$$f_{lr}^0(q) = -\frac{\Gamma \rho_r}{E - E_r + \frac{i}{2}\Gamma} (1 - \omega_1^0(\rho_r)) J_0(q\rho_r). \quad (3)$$

(3)

Ясно, что прицельный параметр столкновения двух нуклонов ρ_r , когда возбуждается Δ -резонанс, по величине должен быть порядка радиуса ядерного взаимодействия $R = 2r_0$, где $r_0 = 1,2$ Фм. Полная амплитуда NN-рассеяния $\bar{f}_1^0(q)$ без перезарядки будет равна сумме амплитуд (1) и (3):

$$\bar{f}_1^0(q) = f_1^0(q) + f_{lr}^0(q). \quad (4)$$

Вдали от резонанса $\bar{f}_1^0(q) \approx f_1^0(q)$.

Входящие в формулы (2) и (3) величины E, E_r и Γ при NN-столкновении будут

соответственно равны: $E \equiv \sqrt{s_1} = \left(2M^2 + 2M\sqrt{k_1^2 + M^2}\right)^{1/2}$ [22], где M - масса нуклона, $E_r = M + M_\Delta$, где M_Δ - масса Δ -резонанса, $\Gamma = \tau^{-1}$, где $\tau \sim 10^{-23}$ с есть время жизни составной системы $N\Delta$. Кроме наиболее вероятной Δ -изобары $\Delta(1232)$ с минимальной массой $M_\Delta = 1232$ МэВ, в принципе могут возбуждаться и более тяжелые нуклонные резонансы $N(1440), N(1520)$ и т.д., если для этого достаточна энергия E . При этом изобары могут возникать как в мишени, так и в налетающей частице.

Процессы столкновения двух нуклонов с учетом перезарядки и образования резонансов

Процессы перезарядки при рассеянии нуклона на нуклоне обусловлены зависимостью амплитуды процесса от изотопических спинов падающего нуклона $\vec{t}_1 = \frac{\vec{\tau}_1}{2}$ и нуклона-

мишени $\vec{t} = \frac{\vec{\tau}}{2}$. Учесть перезарядку при столкновении двух нуклонов можно, если добавить к профильной функции $\omega_1^0(\rho)$ слагаемое, пропорциональное скалярному произведению $\vec{t}_1 \vec{t}$, так что обобщенная профильная функция в этом случае будет иметь вид

$$\omega_1(\rho) = \omega_1^0(\rho) + \omega_1^1(\rho)\vec{t}_1 \vec{t}, \quad (5)$$

т.е. будет уже оператором в изотопическом пространстве. Тогда амплитуда будет представляться аналогичным образом:

$$f_1(q) = f_1^0(q) + f_1^1(q)\vec{t}_1 \vec{t}, \quad f_1^1(q) = \frac{ik_1}{2\pi} \int d^{(2)}\vec{p} \omega_1^1(\rho) e^{i\vec{q}\vec{p}}, \quad (6)$$

где амплитуда $f_1^0(q)$ определена в формуле (1).

Имея в виду дальнейшие вычисления амплитуды реакции перезарядки $p(t, {}^3He)$, выпишем, прежде всего, используемые в дальнейшем изотопические матричные элементы от нуклон-нуклонной профильной функции (5) по протонным x и нейтронным y двукомпонентным изотопическим волновым функциям. При рассеянии нейтрона и протона на протоне-мишени и перезарядке при пр-столкновении такие матричные элементы будут соответственно равны

$$(6) \quad \begin{aligned} \langle y(1)x|\omega_1(\rho)|y(1)x\rangle &= \omega_1^0(\rho) - \omega_1^1(\rho), \\ \langle x(1)x|\omega_1(\rho)|x(1)x\rangle &= \omega_1^0(\rho) + \omega_1^1(\rho), \end{aligned} \quad (7)$$

которые ведут к выражению $\langle x(1)y|\omega_1(\rho)|y(1)x\rangle = 2\omega_1^1(\rho)$. Согласно выражениям (6) и (7), соответствующие нерезонансные амплитуды дифракционного (потенциального) рассеяния нейтрона и протона на протоне $f_{np}^{(p)}(q)$ и $f_{pp}^{(p)}(q)$ и перезарядки при пр-столкновении $f_{np \rightarrow pn}^{(p)}(q)$ будут иметь вид

$$f_{np}^{(p)} = f_1^0(q) - f_1^1(q) = ik_1 \int_0^\infty d\rho \rho [\omega_1^0(\rho) - \omega_1^1(\rho)] J_0(q\rho), \quad (8)$$

$$f_{pp}^{(p)} = f_1^0(q) + f_1^1(q) = ik_1 \int_0^\infty d\rho \rho [\omega_1^0(\rho) + \omega_1^1(\rho)] J_0(q\rho), \quad (9)$$

иначе говоря $f_{np \rightarrow pn}^{(p)} = f_1^1(q) = 2ik_1 \int_0^\infty d\rho \rho \omega_1^1(\rho) J_0(q\rho)$.

Из выражения (10) видно, что амплитуда перезарядки определяется выражением $f_{np \rightarrow pn}^{(p)} = 2f_1^1(q) = 2ik_1 \int_0^\infty d\rho \rho \omega_1^1(\rho) J_0(q\rho)$.

С помощью обратного (двумерного) преобразования Фурье (8) - (10) функции $\omega_1^0(\rho)$ и $\omega_1^1(\rho)$ можно выразить через нуклонные амплитуды

$$\omega_1^0(\rho) = \frac{1}{2ik_1} \int_0^\infty dq q J_0(q\rho) [f_{pp}^{(p)}(q) + f_{np}^{(p)}(q)], \quad (11)$$

$$\omega_1^1(\rho) = \frac{1}{2ik_1} \int_0^\infty dq q J_0(q\rho) [f_{pp}^{(p)}(q) - f_{np}^{(p)}(q)] = \frac{1}{2ik_1} \int_0^\infty dq q J_0(q\rho) f_{np \rightarrow pn}^{(p)}(q). \quad (12)$$

Ясно видно, что процесс перезарядки обусловлен лишь функцией $\omega_1^1(\rho)$ в формуле (5), как и должно быть. Итак, согласно формулам (8) - (10), нерезонансная амплитуда перезарядки в выражении (10) простым образом связана с амплитудами рассеяния в формулах (8) и (9):

$$f_{np \rightarrow pn}^{(p)}(q) = f_{pp}^{(p)}(q) - f_{np}^{(p)}(q). \quad (13)$$

Соответствующие резонансные амплитуды с учетом перезарядки, согласно формулам (3), (5) и (7), будут иметь следующий вид:

$$(14) \quad f_{np}^{(r)}(q) = -\frac{\Gamma_{pr}}{E - E_r + \frac{\Gamma}{2}} [1 - \omega_1^0(\rho_r) + \omega_1^1(\rho_r)] J_0(q\rho_r),$$

$$f_{pp}^{(r)}(q) = -\frac{\Gamma \rho_r}{i} \left[1 - \omega_1^0(\rho_r) - \omega_1^1(\rho_r) \right] J_0(q\rho_r), \quad (15)$$

(2) Аналогично известной формуле $E - E_r + \frac{\Gamma}{2}$ для ядерного фонаря можно получить выражение для амплитуды взаимодействия в виде

$$f_{np \rightarrow pn}^{(r)}(q) = \frac{2\Gamma \rho_r}{E - E_r + \frac{\Gamma}{2}} \omega_1^1(\rho_r) J_0(q\rho_r). \quad (16)$$

Поскольку функция $\omega_1^1(\rho)$, связанная с перезарядкой, в настоящее время еще недостаточно известна, будем предполагать, что $\omega_1^1(\rho)$ пропорциональна функции $\omega_1^0(\rho)$:

$$\omega_1^1(\rho) = \xi \omega_1^0(\rho), \quad (17)$$

где параметр ξ уже не зависит от ρ , но может зависеть от энергии относительного движения двух нуклонов. Если ограничиться рассмотрением черных (поглощающих) нуклонов и считать, что радиусы пр- и pp-взаимодействий одинаковы и равны R , то в этом случае будем иметь [23]

$$f_{np}^{(p)}(q) = (1 - \xi) ik_1 R \frac{J_1(qR)}{q}, \quad (18)$$

$$f_{pp}^{(p)}(q) = (1 + \xi) ik_1 R \frac{J_1(qR)}{q}, \quad (19)$$

$$f_{np \rightarrow pn}^{(p)}(q) = 2\xi ik_1 R \frac{J_1(qR)}{q}. \quad (20)$$

Ясно видно, что параметр ξ характеризует различие в пр- и pp-взаимодействиях и с ним связан процесс перезарядки. Согласно оптической теореме имеем

$$\text{Im } \vec{f}_{np}(q=0) = \frac{k_1}{4\pi} \sigma_{np}, \quad \text{Im } \vec{f}_{pp}(q=0) = \frac{k_1}{4\pi} \sigma_{pp}, \quad (21)$$

где σ_{np} и σ_{pp} – полные интегральные сечения пр- и pp-взаимодействия соответственно, которые измерены в широком диапазоне энергий [24]. Используя формулы (14), (15), (18), (19), (21) и то, что $\rho_r \sim R$, $4\omega_1^0(\rho_r) \sim 1$ и $k_1 R \gg 1$, получим

$$\xi \approx \frac{\sigma_{pp} - \sigma_{np}}{4\pi R^2}. \quad (22)$$

Поскольку в дифракционной модели с поглощающими нуклонами значения сечений σ_{pp} и σ_{np} близки к $2\pi R^2$, то величина параметра ξ должна быть заметно меньше единицы.

Исходя из качественных соображений, можно предположить, что значение $\omega_1^0(\rho_r)$ является, по-видимому, близким к 0,5 и такое значение $\omega_1^0(\rho_r)$ можно использовать для приближенных оценок соответствующих резонансных слагаемых в амплитудах и сечениях.

Формализм процесса $p(t, {}^3\text{He})$ без резонанса

Общую профильную функцию дифракционного взаимодействия падающего тритона с протоном-мишенью ω_{tp} будем строить из нуклон-нуклонных профильных функций (5). Поскольку изотопические операторы, входящие в формулу (5), для каждого нуклона-мишени не коммутируют друг с другом, то профильная функция ω_{tp} должна быть симметризована по трем нуклонам в тритоне:

$$\omega_{tp} = \sum_{j=1}^3 \omega_j(|\vec{p} - \vec{p}_j|) - \frac{1}{2} \sum_{j_1 \neq j_2}^3 \omega_{j_1}(|\vec{p} - \vec{p}_{j_1}|) \omega_{j_2}(|\vec{p} - \vec{p}_{j_2}|) + \\ + \frac{1}{6} \sum_{j_1 \neq j_2 \neq j_3}^3 \omega_{j_1}(|\vec{p} - \vec{p}_{j_1}|) \omega_{j_2}(|\vec{p} - \vec{p}_{j_2}|) \omega_{j_3}(|\vec{p} - \vec{p}_{j_3}|), \quad (23)$$

где \vec{p} – проекция радиуса-вектора, соединяющего центр тяжести тритона с протоном-мишенью, на плоскость, перпендикулярную импульсу падающего тритона \vec{k} , а \vec{p}_j – такая же проекция радиуса-вектора j -го нуклона ядра ${}^3\text{He}$ с началом в месте расположения протона-мишени.

Амплитуда потенциального (т.е. пока что без учета возбуждения Δ -резонанса) процесса $p(t, {}^3\text{He})$ с использованием общего формализма для дифракционного рассеяния трехластерных ядер на ядрах [17, 21] может быть записана в виде

$$F_{tp}^{(p)}(q) = \frac{ik}{2\pi} \int d^{(2)}\vec{p} e^{i\vec{q}\cdot\vec{p}} \int d\vec{r} \int d\vec{s} \Psi_{^3\text{He}}^*(\vec{r}, \vec{s}) \Psi_t(\vec{r}, \vec{s}) \langle y\xi_{^3\text{He}}^a(123) | \omega_{tp} | x\xi_t^a(123) \rangle, \quad (24)$$

где $\Psi_{^3\text{He}}(\vec{r}, \vec{s})$ и $\Psi_t(\vec{r}, \vec{s})$ – внутренние пространственные волновые функции ядер ${}^3\text{He}$ и ${}^3\text{H}$, которые мы в дальнейшем, как и в [23], будем брать в факторизованном виде $\phi_0(r)\phi(s)$ по переменным радиусам-векторам \vec{r} , соединяющему 1-й нуклон (один из протонов в ${}^3\text{He}$ и один из нейтронов в ${}^3\text{H}$) с центром тяжести 2-го и 3-го нуклонов (т.е. нейтрона и протона в дейтронном кластере), и \vec{s} , соединяющему 2-й и 3-й нуклоны, т.е. нейтрон и протон в обоих ядрах. В качестве $\phi_0(r)$ и $\phi(s)$ использовались, как и в [23], хюльтеновские волновые функции. Кулоновское взаимодействие не учитывалось ввиду его весьма малого вклада при средних и высоких энергиях.

Используя структуру спин-изоспиновых волновых функций $\xi^a(123)$ [25], а также формулы (5), (7) и (23), получим

$$\langle y\xi_{^3\text{He}}^a(123) | \omega_{tp} | x\xi_t^a(123) \rangle = \frac{2}{3} \left[[\omega_1^1 + \omega_2^1 + \omega_3^1] + [-\omega_1^0 \omega_2^1 - \omega_2^0 \omega_1^1 - \omega_2^0 \omega_3^1 - \omega_3^0 \omega_2^1 - \right. \\ \left. - \omega_3^0 \omega_1^1 - \omega_1^0 \omega_3^1] + [\omega_1^0 \omega_2^0 \omega_3^1 + \omega_1^0 \omega_3^0 \omega_2^1 + \omega_2^0 \omega_3^0 \omega_1^1 - 5\omega_1^1 \omega_2^1 \omega_3^1] \right]. \quad (25)$$

Тогда амплитуду потенциальной реакции перезарядки (24), согласно формуле (25), можно представить в виде

$$(26) \quad F_{tp}^{(p)} = \frac{2}{3} \xi F^{(1)}(q) + \frac{4}{3} \xi F^{(2)}(q) + 2\xi \left(1 - \frac{5}{3} \xi^2\right) F^{(3)}(q),$$

где $F^{(1)}(q)$, $F^{(2)}(q)$ и $F^{(3)}(q)$ - отдельные вклады в амплитуду упругого потенциального рассеяния без учета процессов перезарядки (когда $\omega_j \rightarrow 0$) $F(q) = F^{(1)}(q) + F^{(2)}(q) + F^{(3)}(q)$ для однократного, двукратного и трехкратного рассеяния соответственно (см., например, [23]):

$$(27) \quad F^{(1)}(q) = ik \left[\Phi_0 \left(\frac{2}{3} q \right) u_1^0(q) + \Phi_0 \left(\frac{1}{3} q \right) \Phi \left(\frac{1}{2} q \right) u_2^0(q) + \Phi_0 \left(\frac{1}{3} q \right) \Phi \left(\frac{1}{2} q \right) u_3^0(q) \right],$$

$$(28) \quad \begin{aligned} F^{(2)}(q) = & -\frac{ik}{2\pi} \int d^{(2)}\vec{q}' \left[\Phi_0 \left(\left| \vec{q}' - \frac{1}{3} \vec{q} \right| \right) \Phi \left(\frac{1}{2} \left| \vec{q}' - \vec{q} \right| \right) u_1^0(q') u_2^0(\left| \vec{q}' - \vec{q} \right|) + \right. \\ & + \Phi_0 \left(\left| \vec{q}' - \frac{1}{3} \vec{q} \right| \right) \Phi \left(\frac{1}{2} \left| \vec{q}' - \vec{q} \right| \right) u_1^0(q') u_3^0(\left| \vec{q}' - \vec{q} \right|) + \\ & \left. + \Phi_0 \left(\frac{1}{3} q \right) \Phi \left(\left| \vec{q}' - \frac{1}{2} \vec{q} \right| \right) u_2^0(q') u_3^0(\left| \vec{q}' - \vec{q} \right|) \right], \end{aligned}$$

$$(29) \quad F^{(3)}(q) = \frac{ik}{(2\pi)^2} \int d^{(2)}\vec{q}' \int d^{(2)}\vec{q}'' \Phi_0 \left(\left| \vec{q}' - \frac{1}{3} \vec{q} \right| \right) \Phi \left(\left| \vec{q}'' + \frac{1}{2} (\vec{q}' - \vec{q}) \right| \right) \times \\ \times u_1^0(q') u_2^0(q'') u_3^0(\left| \vec{q}' + \vec{q}'' - \vec{q} \right|).$$

Здесь введено обозначение

$$(30) \quad u_j^0(q) \equiv \frac{f_j^0(q)}{ik_j} = \int_0^\infty d\rho \rho \omega_j^0(\rho) J_0(q\rho), \quad j = 1, 2, 3,$$

где $f_j^0(q)$ - амплитуда упругого потенциального рассеяния отдельного j -го нуклона трехнуклонного ядра на протоне-мишени без учета перезарядки и рождения резонанса (определенная для $j = 1$ также в формуле (1)), а

$$(31) \quad \Phi_0(q) = \int d\vec{r} |\phi_0(r)|^2 e^{-iq\vec{r}}, \quad \Phi(q) = \int d\vec{s} |\phi(s)|^2 e^{-iq\vec{s}}.$$

есть структурные формфакторы трехнуклонного ядра.

Амплитуда реакции $p(t, {}^3\text{He})$ с учетом резонанса

Сначала будем рассматривать распределение образующихся ядер ${}^3\text{He}$ по переданным импульсам q , а остальные продукты резонансной инклузивной реакции $p(t, {}^3\text{He})$ нас здесь интересовать не будут. Чтобы написать в общем виде полную амплитуду $\bar{F}_{tp}(q)$ этого процесса в дифракционном приближении, выделим амплитуду потенциальной реакции перезарядки $F_{tp}^{(p)}(q)$, представленной формулами (26) - (30), тогда полную амплитуду можно записать в виде

$$\bar{F}_{tp}(q) = F_{tp}^{(p)}(q) + F_{tp}^{(r)}(q), \quad (32)$$

где согласно формулам (14) - (17) вклад резонансной части амплитуды $F_{tp}^{(r)}(q)$ дается выражениями

$$F_{tp}^{(r)}(q) = F_{tp}^{(r)1}(q) + F_{tp}^{(r)2}(q) + F_{tp}^{(r)3}(q), \quad (33)$$

$$F_{tp}^{(r)1}(q) = \frac{2}{3} \xi k \frac{\Gamma \rho_r \omega_1^0(\rho_r)}{k_1(E - E_r + \frac{i}{2}\Gamma)} \Phi_0\left(\frac{2}{3}q\right) J_0(q\rho_r), \quad k \approx 3k_1, \quad (34)$$

$$F_{tp}^{(r)2}(q) = -\frac{\xi k}{3\pi} \frac{\Gamma \rho_r (2\omega_1^0(\rho_r) - 1)}{k_1(E - E_r + \frac{i}{2}\Gamma)} \int d^{(2)}\vec{q}' \Phi_0\left(\left|\vec{q}' - \frac{1}{3}\vec{q}\right|\right) \Phi\left(\frac{1}{2}\left|\vec{q}' - \vec{q}\right|\right) \times \\ \times J_0(q'\rho_r) [u_2^0(|\vec{q}' - \vec{q}|) + u_3^0(|\vec{q}' - \vec{q}|)], \quad (35)$$

$$F_{tp}^{(r)3}(q) = \frac{\xi k}{2\pi^2} \frac{\Gamma \rho_r}{k_1(E - E_r + \frac{i}{2}\Gamma)} \left[\left(1 - \frac{5}{3}\xi^2\right) \omega_1^0(\rho_r) - \frac{2}{3} \right] \times \\ \times \int d^{(2)}\vec{q}' \int d^{(2)}\vec{q}'' \Phi_0\left(\left|\vec{q}' - \frac{1}{3}\vec{q}\right|\right) \Phi\left(\left|\vec{q}'' + \frac{1}{2}(\vec{q}' - \vec{q})\right|\right) \times \\ \times J_0(q'\rho_r) u_2^0(q'') u_3^0(|\vec{q}' + \vec{q}'' - \vec{q}|). \quad (36)$$

Здесь $F_{tp}^{(r)j}(q)$ есть отдельный вклад для j -кратного резонансного рассеяния ($j = 1, 2, 3$). Входящие в формулы (34) - (36) полная энергия в системе центра масс E и резонансная энергия E_r равны соответственно [20, 22]

$$E \equiv \sqrt{s} = \left[(M_t + M)^2 + 2MT_t \right]^{1/2}, \quad E_r = \left[(M_t + M)^2 + 2MT_t^r \right]^{1/2} = M_{He} + M_\Delta, \quad (37)$$

где M_t и M_{He} - массы тритона и ядра 3He , а T_t - кинетическая энергия тритона в лабораторной системе.

Отметим, что дифференциальное сечение резонансного процесса $p(t, {}^3He)$

$$\frac{d\sigma}{d\Omega} \equiv \sigma(q) = 2 \left| \bar{F}_{tp}(q) \right|^2 \quad (38)$$

представлено формулами (26) - (31) и (32) - (36) пока что для произвольных профильных функций $\omega_j^0(\rho)$.

Энергетическое распределение образующихся ядер 3He

Релятивистские законы сохранения приводят к следующему уравнению для кинетической энергии T_{He} образующегося ядра 3He :

$$\begin{aligned} & \left[T_{He} - T_t - (M_t - M_{He}) - M \right]^2 = \\ & = T_{He}^2 + 2M_{He}T_{He} + T_t^2 + 2M_tT_t + M_\Delta^2 - 2\cos\theta\sqrt{(T_{He}^2 + 2M_{He}T_{He})(T_t^2 + 2M_tT_t)}, \end{aligned} \quad (39)$$

из которого получаем два зависящих от θ и T_t корня $T_{He}^{(1)} \equiv T_{He}^{(1)}(\theta, T_t)$ и $T_{He}^{(2)} \equiv T_{He}^{(2)}(\theta, T_t)$, где θ - угол вылета ядра ${}^3\text{He}$. Ввиду малого времени жизни Δ -резонанса и неизбежных экспериментальных погрешностей, энергетическую Δ -функцию в дифференциальном сечении $d^2\sigma / dT_{He} d\Omega$ как по углу θ , так и по энергии T_{He} ядра ${}^3\text{He}$ заменяем на конечную функцию брейт-вигнеровского типа, так что для энергетического распределения образующихся в резонансной реакции $p(t, {}^3\text{He})$ ядер ${}^3\text{He}$ для фиксированного угла θ их вылета (как и в [10], будем полагать $\theta = 0^\circ$) получаем выражение

$$\frac{d^2\sigma}{dT_{He} d\Omega} = 2|\bar{F}_{tp}(q)|^2 \sum_{k=1}^2 \frac{D}{2\pi \left[(T_{He} - T_{He}^{(k)})^2 + \frac{1}{4} D^2 \right]}, \quad (40)$$

где D - параметр «размазывания».

Заметим, что входящая в амплитуду $\bar{F}_{tp}(q)$ величина релятивистского переданного импульса q в системе центра инерции связана с энергией T_t и T_{He}

$$q^2 = q_L^2 - (T_t + M_t - T_{He} - M_{He})^2 + \frac{1}{4s} (M_t^2 - M_{He}^2)^2, \quad (41)$$

где q_L - величина переданного импульса в лабораторной системе

$$q_L^2 = (T_t + M_t + M - T_{He} - M_{He})^2 - M_\Delta^2, \quad (42)$$

а величина импульса k падающего тритона в системе центра инерции связана с T_t соотношением

$$k = M \sqrt{\frac{(2M_t + T_t)T_t}{(M_t + M)^2 + 2MT_t}}, \quad (43)$$

что использовалось при расчете сечений.

Результаты расчетов и их обсуждение

Рассчитанное дифференциальное сечение, или угловое распределение образующихся ядер ${}^3\text{He}$ (при фиксированной их кинетической энергии T_{He}) $\sigma(q)$, для резонансного процесса перезарядки $p(t, {}^3\text{He})$ с учетом возбуждения легчайшей Δ -изобары в зависимости от переданного импульса q (в с.ц.и.) представлено на рис. 1 для кинетической энергии падающего тритона $T_t = 1,2$ ГэВ, близкой (см. формулу (37)) к резонансной T_t^r ($T_t^r = 1,216$ ГэВ). Здесь и далее использовались следующие, близкие к оптимальным, численные значения параметров: $\xi = 0,15$; $\Delta = 0,1$ Фм - параметр диффузности края ядра-мишени в фермиевской зависимости $\omega_j^0(\rho)$, $\omega_1^0(\rho_r) = 0,4$ (но для рис. 2 $\omega_1^0(\rho_r) = 0,5$); $r_0 = 1,2$ Фм; $\Gamma = 115$ МэВ; $D = 25$ МэВ. Все кривые на рис. 1, *a* рассчитаны с учетом однократного, двухкратного и трехкратного рассеяний, причем сплошная кривая (суммарное сечение)

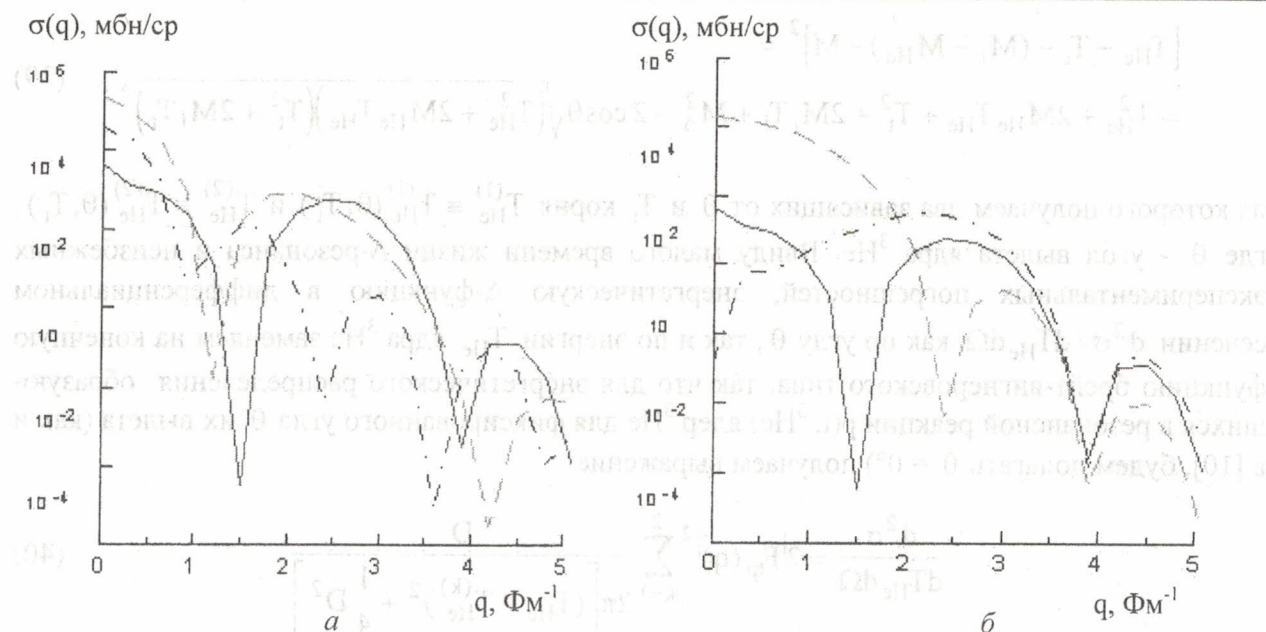


Рис. 1.

учитывает как потенциальное, так и резонансное рассеяния, штриховая - только потенциальное, а штрих-пунктирная - только резонансное. Обращает внимание значительная роль интерференции потенциального и резонансного рассеяний.

Рис. 1, б демонстрирует большое влияние на суммарное сечение $\sigma(q)$ (сплошная кривая) вкладов рассеяния с различной кратностью: штриховая кривая рассчитана лишь с учетом однократного рассеяния (импульсное приближение), а штрих-пунктирная - с учетом однократного и двукратного рассеяний. Все кривые на рис. 1, б получены с учетом как потенциального, так и резонансного рассеяний с перезарядкой.

На рис. 2 представлены энергетические распределения образующихся в реакции $p(t, {}^3\text{He})$ ядер ${}^3\text{He}$, летящих вперед под нулевым углом ($\theta = 0^\circ$), т.е. зависимости сечения $d^2\sigma/dT_{\text{He}} d\Omega$ от кинетической энергии T_{He} ядер ${}^3\text{He}$ при $T_t = 1,2$ ГэВ (см. рис. 2, а) и $T_t = 2$ ГэВ (см. рис. 2, б). Учитывалось однократное, двукратное и трехкратное рассеяния. Сплошные кривые, как и на рис. 1, рассчитаны с учетом и потенциального, и резонансного рассеяний с перезарядкой, штриховые - с учетом лишь потенциального, а штрих-пунктирные - с учетом только резонансного. Видна сильная зависимость сечений в области

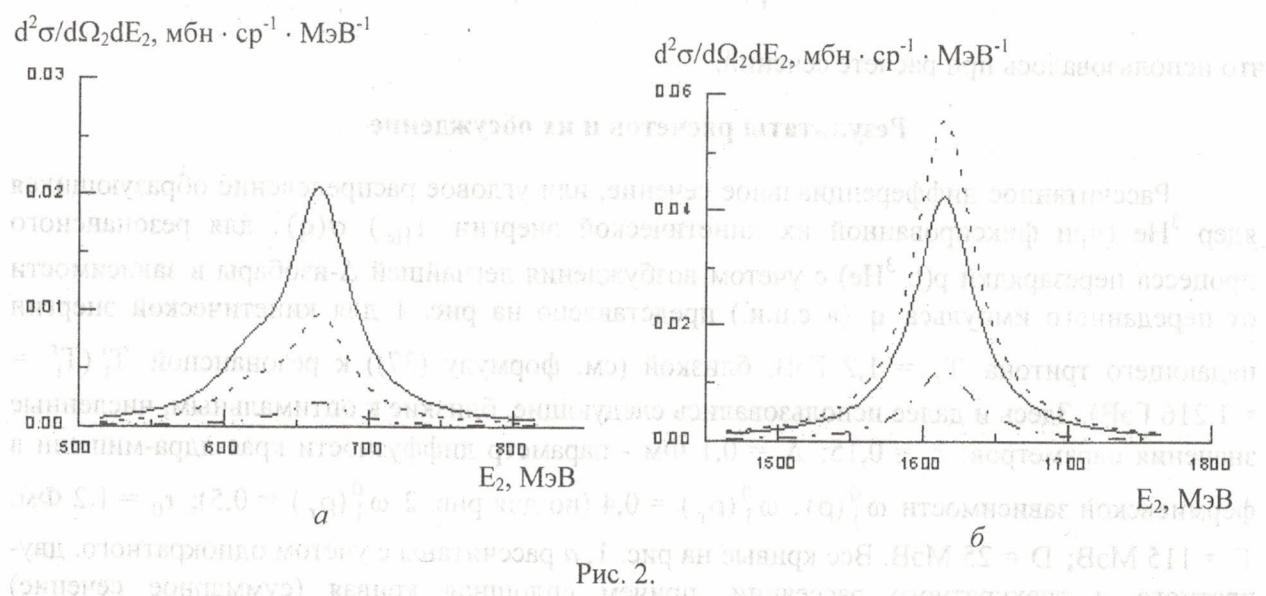


Рис. 2.

максимумов от интерференции потенциального и резонансного рассеяний и от небольших изменений энергии тритона T_t вблизи резонансного значения энергии. При энергиях тритона $T_t \geq 10$ ГэВ вклад резонансного рассеяния с перезарядкой пренебрежимо мал по сравнению с вкладом потенциального рассеяния.

Полученные нами зависимости могут быть полезны при проведении экспериментов по изучению перезарядного процесса $p(t, {}^3\text{He})$ в области энергий падающих тритонов, где с заметной вероятностью могут рождаться промежуточные Δ -резонансы. Предложенные нами теоретические подходы могут быть использованы при рассмотрении и других резонансных перезарядных процессов.

СПИСОК ЛИТЕРАТУРЫ

1. Аблеев В.Г., Воробьев Г.Г., Елисеев С.М. и др. Возбуждение Δ -изобар в ядрах углерода в реакции перезарядки (${}^3\text{He}, t$) при 4,37; 6,78 и 10,78 ГэВ/с // Письма в ЖЭТФ. - 1984. - Т. 40, № 1. - С. 35 - 38.
2. Аблеев В.Г., Воробьев Г.Г., Димитров Х. и др. Перезарядка $p({}^3\text{He}, t)$ при импульсах 4,4 - 18,3 ГэВ/с с рождением Δ -изобар // ЯФ. - 1987. Т. 46, № 2(8). - С. 549 - 558.
3. Аблеев В.Г., Димитров Х., Елисеев С.М. и др. Перезарядка релятивистских ядер гелия-3 в тритоны на углероде с возбуждением Δ -изобар в ядре-мишени // ЯФ. - 1988. - Т. 48, № 1(7). - С. 27 - 37.
4. Аблеев В.Г., Запорожец С.А., Науманн Б. и др. Угловая зависимость сечений перезарядки (${}^3\text{He}, t$) на протонах и ядрах углерода с возбуждением Δ -изобар при импульсе 6,91 ГэВ/с // ЯФ. - 1991. - Т. 53, № 2. - С. 457 - 464.
5. Строковский Е.А., Гареев Ф.А., Ратис Ю.Л. Дельта-изобарные возбуждения атомных ядер в зарядово-обменных реакциях // ЭЧАЯ. - 1993. - Т. 24, № 3. - С. 603 - 682.
6. Гареев Ф.А., Строковский Е.А., Ратис Ю.Л. Зарядово-обменные реакции с участием нуклонов и легких ионов при низких и промежуточных энергиях // ЭЧАЯ. - 1994. - Т. 25, № 4. - С. 855 - 929.
7. Мухин К.Н., Патаракин О.О. Дельта-изобара в ядрах (обзор экспериментальных данных) // УФН. - 1995. - Т. 165, № 8. - С. 841 - 886.
8. Ferreira L.S., Cattapan G. The role of the Δ in nuclear physics // Phys. Reports. - 2002. - Vol. 362, No. 5 - 6. - P. 303 - 407.
9. Малахов А.И. Программа исследований на нуклotronе // ЯФ. - 2002. - Т. 65, № 2. - С. 235 - 243.
10. Oset E., Shiino E., Toki H. The (${}^3\text{He}, t$) reaction on nucleons and nuclei // Phys. Lett. - 1989. - Vol. B224, № 3. - P. 249 - 254.
11. Зарубин П.И. Перспективы экспериментов на ускорительном комплексе синхрофазотрон-нуклotron // ЭЧАЯ. - 1995. - Т. 26, № 3. - С. 523 - 561.
12. Avramenko S.A., Aksinenko V.D., Anikina M. Kh. et al. Investigation of pion spectra in charge exchange reactions $A(t, {}^3\text{He})$ // Research Program of the Laboratory of High Energies. – Dubna, JINR, 1999. - P. 67.
13. Авраменко С.А., Абдурахимов А.У., Аксиненко В.Д. и др. Коллективное возбуждение Δ -изобары в реакциях перезарядки (${}^7\text{Li}, {}^7\text{Be}$) и (${}^3\text{H}, {}^3\text{He}$) при импульсе 3 ГэВ/(с нуклон) // Письма в ЖЭТФ. - 1992. - Т. 55, № 12. - С. 676 - 680.
14. Avramenko S.A., Abdurakhimov, Aksinenko V.D. et al. Collective excitation of Δ -isobar in charge exchange reactions (${}^7\text{Li}, {}^7\text{Be}$) and (${}^3\text{H}, {}^3\text{He}$) at a projectile momentum of 3 GeV per nucleon // JINR Rapid Commun. - Dubna. - 1992. - № 3[54]-92. - P. 13 - 19.
15. Avramenko S.A., Aksinenko V.D., Anikina M. Kh. et al. Pion momentum spectra in a nuclear charge exchange reaction Mg($t, {}^3\text{He}$) // JINR Rapid Commun. - Dubna. - 1993. - № 6[63]-93. - P. 5 - 12.
16. Afanasiev S.V., Aksinenko V.D., Anisimov Yu.S. et al. Investigation of charge exchange reactions on a hydrogen target (Proposal) // JINR Rapid Commun. – Dubna. - 1995. - № 1[69]-95. - P. 47 - 52.
17. Goryachy V.V., Peresypkin V.V. Diffraction scattering of protons by the ${}^3\text{H}$, ${}^3\text{He}$ and ${}^4\text{He}$ nuclei. - Kiev, 1977. - 13 p. - (Prepr. / AS UkrSSR. In-t theoretical physics; ITP-77-103E).
18. Бережной Ю.А., Пиличенко В.В. О зарядовообменных реакциях в области средних энергий // УФЖ. – 1978 – Т. 23, № 8. - С. 1331 - 1335.

19. Бережной Ю.А., Пилиенко В.В. Дифракционная модель зарядовообменных реакций // Изв. АН СССР. Сер. физ. - 1979. - Т. 43, № 5. - С. 1006 - 1009.
20. Ландау Л.Д., Лифшиц Е.М. Квантовая механика. - М.: Физматгиз, 1963.
21. Sitenko A.G. Theory of Nuclear Reactions. - Singapore, New Jersey: World Scientific, 1990.
22. Челлен Г. Физика элементарных частиц. - М.: Наука, 1966.
23. Евланов М.В., Соколов А.М., Тартаковский В.К. О дифракционном рассеянии гиперядер ^3H и ^3He на атомных ядрах с учетом размытия их края, структуры гиперядер и эффектов многократного рассеяния // ЯФ. - 2001. - Т. 64, № 10. - С. 1895 - 1903.
24. Барашенков В.С., Тонеев В.Д. Взаимодействия высокогенергетических частиц и атомных ядер с ядрами. - М.: Атомиздат, 1972.
25. Sitenko A.G., Tartakovskii V.K. Theory of Nucleus. - Dordrecht: Kluwer Academic Publishers, 1997.

РЕЗОНАНСНИЙ ПРОЦЕСС ПЕРЕЗАРЯДЖЕННЯ $p(t, ^3\text{He})$

М. В. Євланов, О. М. Соколов, В. К. Тартаковський

У рамках дифракційного наближення побудовано амплітуду перезарядного процесу $p(t, ^3\text{He})$ з утворенням проміжного Δ -резонансу та розраховано відповідні кутові розподіли й енергетичні спектри ядер ^3He , що вилітають.

RESONANCE PROCESS OF CHARGE EXCHANGE $p(t, ^3\text{He})$

M. V. Evlanov, A. M. Sokolov, V. K. Tartakovsky

Within the framework of diffraction approximation the charge exchange process $p(t, ^3\text{He})$ amplitude is built with forming an intermediate Δ -resonance and corresponding angular distribution and energy spectra of emitting nuclei are calculated.

Поступила в редакцию 28.02.03,
после доработки – 23.06.03.